

ная диффузионная волна будет успевать распространяться раньше, чем последующая волна тепловой релаксации. Однако в начальный момент скорость реакции в кинетическом режиме невелика, поэтому выгорание не будет влиять на развитие процесса и температура будет плавно расти (скорость реакции тоже). Затем происходит воспламенение и переход в диффузионную область. Дальнейший рост скорости реакции будет ограничен влиянием выгорания исходного реагента, как в случае д). Но здесь при снижении температуры до определенного уровня произойдет «потухание», так как времена тепловой релаксации в силу начальных значений параметров в данном диапазоне меньше, чем в случае д). Таким образом, система возвращается в первоначальное состояние (в кинетическую область).

ж) Диапазон изменения параметра $S > S_+$ соответствует случаю, описанному в [2], когда значения δ_{\pm} определяют критические условия воспламенения и потухания, т. е. это область скачкообразного перехода из кинетической области в диффузионную и обратно при квазистационарной концентрации.

Поступила в редакцию 2/II 1981

ЛИТЕРАТУРА

1. А. И. Вольперт, С. И. Худяев. Анализ в классах разрывных функций и уравнения математической физики. М.: Наука, 1975.
2. Н. Е. Коловертых, С. И. Худяев, А. С. Штейнберг. ФГВ, 1980, 16, 4.
3. В. В. Барзыкин, А. Г. Мержанов. ЖФХ, 1964, 38, 11.
4. Д. А. Франк-Каменецкий. Диффузия и теплопередача в химической кинетике. М.: Наука, 1967.
5. Tadao Takeno, Kenji Sato. Comb. Flame, 1980, 38, 1.
6. N. N. Semenoff. Zeitschr. phys. Chemie, 1928, 48, 571.

УДК 662.215.1

ИССЛЕДОВАНИЕ ДЕТОНАЦИИ СИЛЬНОРАЗБАВЛЕННЫХ ПОРИСТЫХ ВВ. II. ВЛИЯНИЕ ИНЕРТНОЙ ДОБАВКИ НА СТРУКТУРУ ФРОНТА, ПАРАМЕТРЫ И ВРЕМЯ РЕАКЦИИ

*К. К. Шведов, А. И. Анискин, А. Н. Ильин, А. Н. Дремин
(Черноголовка)*

В работе [1] исследовалось влияние инертных добавок на критические условия распространения детонации и вид зависимости скорости детонации от диаметра заряда в сильноразбавленных пористых ВВ на основе тротила и гексогена. Данная работа — продолжение этих исследований, она посвящена рассмотрению влияния инертных добавок на параметры детонации, структуру фронта детонационной волны и время реакции.

Большинство экспериментов проделано с теми же смесями, что и в [1]. Перечисленные характеристики определялись в основном электромагнитным методом [2].

Влияние инертных добавок на структуру детонационного фронта

Под детонационным фронтом будем понимать ударный фронт и зону химической реакции за ним до состояния Чепмена — Йуге. По структуре детонационного фронта можно судить о процессе детонации и механизме

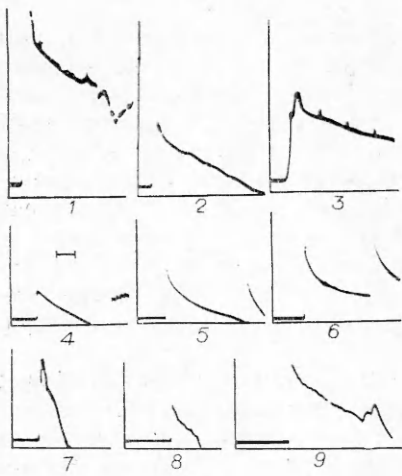


Рис. 1. Осциллограммы записей массовой скорости в зарядах различной толщины Δ и диаметра d .
Масштаб времени 2 мкс (кадры 1–3 — метки на осциллограммах, для остальных — показан на кадре 4).

рим прежде вопрос о качественном влиянии процентного содержания и дисперсности инертных добавок на структуру детонационного фронта в зарядах различного диаметра. Для примера на рис. 1 приведены некоторые характерные осциллограммы записей массовой скорости $u(t)$ в исследованных смесях (смеси ТНТ с различным массовым содержанием NaCl : 1 — 75/25, $\Delta = 60$ мм, 2 — 50/50, $\Delta = 40$ мм, 3 — 25/75, $\Delta = 80$ мм; смеси гексоген — Al_2O_3 25/75, размер частиц добавки $\delta = 0,1$ мм: 4 — $d = 20$ мм, 5 — $d = 40$ мм, 6 — $d = 80$ мм; 7 — гексоген — Al_2O_3 25/75, $\delta = 0,5$ мм, $d = 20$ мм; 8 — гексоген — NaCl 25/75, $\delta = 0,8 \div 1,0$ мм, $d = 20$ мм; 9 — гексоген — NaCl 25/75, $\delta = 1,2$ мм, $d = 40$ мм). Кадры получены при различной чувствительности осциллографа и поэтому не дают наглядного представления об изменении амплитуды. Однако временной масштаб на кадрах 1–3, а также кадров 4–9 одинаков, что позволяет проследить за трансформацией химпика во времени. Разбавление ВВ инертной добавкой (до 85% по массе) приводит к «размазыванию» ударного фронта и увеличению времени реакции, химпик несколько сглаживается, но при достаточно больших размерах заряда не исчезает полностью (см. рис. 1, 1–3). Независимо от добавки химпик не наблюдается при близких к критическим размерам заряда (см. рис. 1, 4).

Отсутствие на осциллограммах химпика при малых размерах заряда можно было бы объяснить методическими трудностями его регистрации из-за искривления фронта детонационной волны и вследствие этого увеличения времени завала осциллограмм записи $u(t)$. Однако оценка максимального завала фронта на осциллограммах записи $u(t)$ за счет искривления фронта по оси заряда при длине рабочей части алюминиевого датчика $l = 5$ мм (толщина 0,15–0,2 мм) и реальной кривизне фронта, которая исследовалась в [1], дает время 0,2–0,3 мкс. Экспериментально наблюдался завал фронта по времени достигает в исследованных смесях 0,5–0,6 мкс и не зависит от диаметра заряда. Поэтому отсутствие излома на записи $u(t)$ при размерах заряда, близких к критическим, как и в индивидуальных ВВ, связано, очевидно, с влиянием других факторов.

Как отмечалось в работе [1], на критический диаметр и вид зависимости $D(d)$ сильное влияние оказывает дисперсность добавки. На рис. 1, 4–9 показаны некоторые примеры влияния дисперсности добавки на профиль $u(t)$ в зарядах различного диаметра. В сильно разбавленных смесях с крупнодисперсной добавкой ($\delta = 0,5$ мм $> \delta^*$) спад $u(t)$ в зоне реакции линейный, как и в индивидуальных ВВ (см. рис. 1, 7–9). Это, видимо, свиде-

разложения вещества, так как они тесно связаны между собой. Известно, что для нормальных режимов детонации пористых ВВ характерны сравнительно высокие значения параметров и наличие повышенных давлений и массовых скоростей во фронте волны (химпик) [3]. Это указывает на принципиальную применимость к таким системам модели Зельдовича — Неймана — Дюринга, отводящей решающую роль ударной волне в процессе распространения детонации и разложения вещества [4].

При сильном разбавлении пористых ВВ инертными добавками значительно падают величины параметров детонации. При этом может реализоваться отличный от ударного механизм разложения вещества, что должно приводить к изменению структуры детонационного фронта. Поэтому рассмотрим

тельствует о том, что скорость разложения ВВ в зоне реакции не меняется. В смесях с мелкодисперсной добавкой ($\delta = 0,1 \div 0,15$ мм $< \delta^*$), даже при близких к идеальным режимах детонации, профиль $u(t)$ в зоне реакции вогнутый (см. рис. 1, 5, 6). В этих случаях, по-видимому, скорость разложения ВВ максимальна в начале и уменьшается к концу зоны реакции вследствие снижения температуры продуктов из-за прогрева добавки.

Таким образом, изменение размеров частиц добавки (Al_2O_3 , NaCl) с 0,5 до 0,1–0,15 мм в смеси с гексогеном 75/25 приводит к отличию в профиле $u(t)$ в зоне реакции. Эти отличия сопровождаются и количественными изменениями детонационных характеристик. В частности, при $d = 20$ мм в смесях гексогена с 75%-ным содержанием Al_2O_3 или NaCl с $\delta \leq 0,1$ мм излом на записях $u(t)$ не наблюдается ($D = 1,5 \div 2,0$ км/с), но регистрируется химпик, если $\delta \geq 0,5$ мм ($D = 4,0 \div 4,7$ км/с).

В работе [5] на смесях гексоген — NaCl 15/85 в зарядах с $d = 20$ мм также наблюдалось два типа профилей $u(t)$ (с химпиком и без него), но при одной скорости детонации ($D = 2,1$ км/с). В связи с этим высказаны соображения о возможности пульсаций давления на ударном фронте детонационной волны в порошкообразных ВВ. Пульсации объясняются в [5] действием двух конкурирующих процессов: возникновением очагов химической реакции с последующим горением и уплотнением порошкообразного ВВ из-за роста давления, препятствующего распространению горения. Резкое повышение давления приводит к уплотнению прилегающего слоя ВВ и срыву воспламенения. Снижение давления за счет неполноты химического превращения облегчает протекание химической реакции, что опять приводит к росту давления и процесс повторяется.

Однако, как следует из приведенных данных, при низких скоростях детонации (мелкодисперсная добавка) в зарядах с $d = 20$ мм в пористых смесях на основе гексогена и тротила химпика не наблюдается. Появление его в некоторых опытах в [5] непонятно. Возможно, оно связано с особенностями монтажа зарядов.

Исчезновение точки излома на профиле $u(t)$ при малых диаметрах заряда обусловлено, очевидно, не качественным изменением механизма превращения вещества, а влиянием газодинамических факторов. При уменьшении диаметра заряда и параметров детонации (скорость, давление) градиент спада массовой скорости в зоне реакции уменьшается, а в волне разрежения за точкой Жуге увеличивается. При некотором диаметре заряда оба значения градиента сравниваются, что приводит к треугольному профилю $u(t)$ без заметного излома (рис. 2). При уменьшении диаметра заряда с 60 до 40 мм массовая скорость в точке излома падает, а время излома увеличивается. Очевидно, можно было ожидать подобной зависимости и при дальнейшем уменьшении диаметра заряда. Однако излома на записи $u(t)$ в зарядах с $d = 20$ мм не наблюдается, а максимальное значение массовой скорости оказывается явно выше, чем в точках излома кривых $d = 40$ мм и 60 мм. Время завала фронта осцилограмм $u(t)$ в зарядах с $d = 40$ мм и 60 мм явно меньше времени излома (0,5–0,5 мкс) кривых $u(t)$ для этих зарядов. Отсюда следует, что в случае треугольного профиля $u(t)$ состояние с максимальным зафиксированным значением u находится в зоне реакции, разложение ВВ происходит и в волне разрежения. Поэтому зафиксировать окончание реакции не удается.

Не исключено, конечно, что при значительном увеличении размеров частиц ВВ или добавки, особенно в сильнопористых системах, ударный фронт «размажется» столь сильно, что ча-

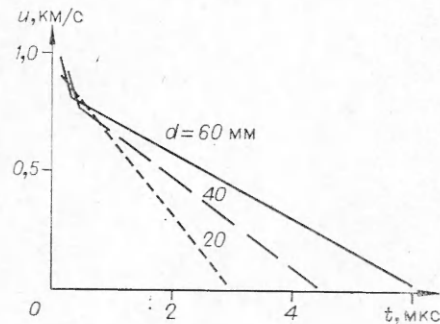


Рис. 2. Зависимости $u(t)$ в смесях гексоген — $\text{Ba}(\text{NO}_3)_2$ в зарядах различного диаметра.

стичное или полное разложение ВВ будет происходить за время сжатия. Реализация этого случая означала бы осуществление детонационного процесса превращения ВВ, отличного от модели Зельдовича — Неймана — Дюринга. Согласно этой модели, ВВ при детонации вначале только сжимается в ударном фронте, а уже потом реагирует (химпик).

В случае полного превращения ВВ еще в процессе сжатия изменение состояния вещества в ходе реакции описывается в координатах $p - v$ отрезком прямой Михельсона, соединяющим начальную точку и непосредственно точку адиабаты конечных продуктов разложения. При таком процессе детонации химпика не должно быть, а максимальное значение массовой скорости профиля $u(t)$ должно соответствовать состоянию конечных продуктов разложения.

В работе [6] при исследовании детонации пористых смесей гексогена с минорой получены экспериментально треугольные профили $u(t)$ без химпика в зарядах с $d = 50$ мм. На основании этого сделан вывод о реализации режима детонации, отличного от модели Зельдовича — Неймана — Дюринга. Однако, как следует из приведенного анализа, треугольный профиль $u(t)$ сам по себе не означает отсутствие химпика и может быть следствием влияния газодинамических факторов при малых диаметрах заряда.

Факт наличия или отсутствия химпика в детонационной волне не позволяет сделать однозначных выводов о выполнении условия касания и месте положения звуковой поверхности. Положение ее может быть найдено измерением скорости фронта, массовой скорости и скорости звука за фронтом детонационной волны, как место, где $D = u + c$. Указанные параметры измерены в смесях гексоген — NaCl 20/80 в зарядах с $d = 40$ мм. Записи $u(t)$ в этих смесях имели треугольный вид с завалом фронта около 0,6 мкс по времени. Скорость звука измерялась электромагнитным методом [2] на разных базах (2, 4 и 6 мм) и оказалась равной 1,45 км/с независимо от базы измерения. Значения скорости фронта и массовой скорости составили 2,5 и 0,4 км/с соответственно. Это означает, что $u + c < D$ и состояние Чепмена — Жуге в данном случае находится не далее 2 мм от ударного фронта или около 1 мкс по времени. Таким образом, в данном случае звуковая поверхность находится довольно близко к точке с максимальным значением массовой скорости, но разложение ВВ здесь явно не заканчивается.

Сильноразбавленные пористые ВВ — сложные системы, поэтому в них по различным причинам возможно осуществление недосжатых режимов детонации. Одной из причин этого может быть сложная кинетика тепловыделения из-за поглощения тепла инертным наполнителем. Однако в случае недосжатой детонации профиль $u(t)$ или $p(t)$ должен иметь характеристическое платье [3]. На экспериментальных профилях $u(t)$ во всех исследованных смесях таких особенностей не отмечено, что, возможно, связано с ограниченностью диаметра заряда. Поэтому для обнаружения недосжатого режима детонации поставлены специальные опыты по выходу детонации из пересжатого режима в смеси гексоген — NaCl 20/80 в зарядах с $d = 100$ мм. Пересжатая детонация создавалась детонацией заряда гексоген — NaCl 50/50 того же диаметра, находящегося в контакте с основным. На профилях $u(t)$ в области от границы раздела между различными смесями до установления характерного для смеси 20/80 режима детонации на расстоянии 40 мм не обнаружено отстающей от детонационного фронта ударной волны.

В работе [7] высказывались соображения о том, что в смесях с тяжелыми добавками возможно существование недосжатых режимов детонации благодаря большой скорости звука в добавке по сравнению со скоростью звука в продуктах детонации. В описываемых опытах сильно отличающиеся по скорости звука добавки (Al_2O_3 с $c_{\text{прод}} = 10,8$ и $c_{\text{попер}} = 6,33$ км/с [8] и NaCl с $c_{\text{прод}} = 4,42$ и $c_{\text{попер}} = 2,55$ км/с [9]) при близкой дисперсности дают одинаковые значения скорости детонации. Таким об-

разом, доказательств осуществления недосжатых режимов в исследованных смесях нет.

Как следует из теоретического анализа [3], условие касания для детонационной волны с турбулентным фронтом должно выполняться, если состояние вещества в ходе реакции на $p - v$ -диаграмме изменяется сверху вниз и коэффициент Грюнайзена $\Gamma > 2/3$. Эти условия в большинстве случаев детонации смесевых ВВ выполняются. Рассмотренные факты и стационарность взрывных процессов на больших длинах зарядов позволяют считать, что, по крайней мере в системах с химпиком, условие касания выполняется и поэтому можно использовать основные соотношения теории детонации для определения ее параметров. Состояние Чепмена — Йуге находилось по химпику, что, строго говоря, справедливо только для идеальных или близких к ним режимов детонации.

Влияние инертных добавок на параметры детонации и время реакции

В табл. 1 приведены результаты определения скорости фронта D , массовой скорости u , давления p и показателя политропы продуктов n при детонации зарядов различной толщины слоя Δ или диаметра d (размеры цилиндрических зарядов взяты в скобки), а также значения времени химпика τ (отмечены звездочкой). В случаях, когда на записях $u(t)$ не наблюдалось точки излома, τ означает время завала фронта осциллограмм записи $u(t)$ и значения u и p относятся к ударному фронту.

Приведенные результаты являются средними из 3—5 опытов, точность определения $D \approx 2 \div 3\%$, $u \approx 3\%$, $\tau \approx 10\%$, $p \approx 5 \div 6\%$. В ряде опытов на смесях с NaCl наблюдался разброс значений D и u , значительно превосходящий точность измерений. Это, как отмечалось в [1], связано с неустойчивостью детонационных режимов. Результаты таких опытов отражены лишь частично.

Анализ данных табл. 1 показывает, что при заданном процентном содержании добавки параметры детонации D , u , p растут с увеличением диаметра заряда, как и в индивидуальных ВВ. Однако, как отмечалось в [1], иногда наблюдаются S-образные и скачкообразные зависимости $D(d)$. Соответственно с изменением $D(d)$ меняются u и p .

Как видно из табл. 1, введением добавок различной дисперсности можно менять в широких пределах скорость и давление детонации при заданном диаметре заряда. Максимальные значения скорости фронта в идеальных режимах детонации наблюдаются для крупнодисперсных добавок ($\delta \geq 0,5$ мм). Оценка снижения D за счет введения добавки из выражения $D^2 \sim Q$ показывает, что экспериментальные значения D значительно (на 0,5—1,5 км/с) превосходят расчетные.

В работах [10, 11] для расчета давления детонации ВВ с инертными добавками используется формула $p = p_0 D^2 (1 - \alpha p_0 / \gamma) / (n + 1)$, где α и γ — процентное содержание и плотность добавки соответственно. Она получена в предположении о несжимаемости и непрогреваемости добавки, что, как следует из приведенных данных, ближе всего соответствует поведению крупнодисперсных ($\delta \geq 0,5$ мм) добавок. Однако для этих случаев расчетные давления также являются заниженными до 50%. Более близкое (до 10—15%) совпадение расчетных и экспериментальных результатов по давлению наблюдается для смесей с 75—85%-ным содержанием мелкодисперсной ($\delta \approx 0,1$ мм) добавки, что, видимо, случайно и связано со снижением параметров из-за потерь на прогрев добавки. Действительно (см. табл. 1), уменьшение размера частиц Al_2O_3 с 0,5 до 0,1 мм в смесях с гексогеном приводит к падению D в 1,5 и давления в 2,7 раза при прочих близких условиях.

Рассмотренные данные свидетельствуют о сложном влиянии инертной добавки на параметры детонации пористых ВВ. Возможная взаимная комбинация

Таблица 1

ВВ, плотность, размер частиц добавки	$\Delta(d)$, мм	D , км/с	τ , мкс	u , км/с	p , кбар	n	t_B , мкс
							1
THT—NaCl 75/25, $\rho_0=1,0$ г/см ³	15	2,65	0,5	1,05	27,8	—	2,7
	20	2,8	0,4	1,1	30,8	—	3,6
	30	3,0	0,7	1,32	39,4	—	5,8
	40	3,1	0,9	1,4	43,4	—	—
	55	3,6	1,26*	1,24*	44,7*	1,9	—
	60	3,6	1,2*	1,30*	47*	1,8	—
	75	3,6	1,26*	1,20*	43*	2,0	—
THT—NaCl 50/50, $\rho_0=1,05$ г/см ³	20	2,05	0,5	0,9	19,4	—	5,8
	40	2,4	0,7	0,9	22,7	—	8,1
	50	2,6	1,5*	0,95	26*	1,7	9,7
	70	2,7	1,7*	1,0*	28,4*	1,7	—
	80	3,1	1,4*	1,15*	37,4*	1,7	—
	100	3,05	1,5*	1,10*	35,0*	1,8	—
THT—NaCl 25/75, $\rho_0=1,27$ г/см ³	25	1,5	0,6	0,55	10,5	—	8,4
	30	1,5	0,56	0,57	10,8	—	11,0
	40	1,73	0,7	0,54	11,8	—	12,3
	60	1,77	1,4*	0,52*	11,7*	2,4	16,0
	(72)	1,83	1,7*	0,55*	12,7*	2,3	—
	80	1,80	1,4*	0,58*	13,2*	2,1	19,3
	(80)	1,85	1,7*	0,6*	14*	2,1	21,5
	120	1,95	1,3*	0,6*	14,8*	2,2	—
THT—SiC 75/25, $\rho_0=1,12$ г/см ³ , $\delta=0,12$ мм	(20)	2,5	0,4	0,8	22,2	—	—
	(30)	2,8	0,5	1,04	32,6	—	4,5
	(36)	3,6	0,4	1,59	64	—	—
	(40)	3,9	1,1*	1,07*	47*	2,6	5,4
	(60)	4,15	1,05*	1,1*	51*	2,8	—
THT—SiC 25/75, $\rho_0=1,40$ г/см ³ , $\delta=0,3$ мм	(40)	1,58	2,4*	0,4*	—	3,0	—
	(80)	1,72	1,7*	0,45*	—	2,8	—
THT—Ba(NO ₃) ₂ 20/80, $\rho_0=1,7$ г/см ³	40	2,5	0,5	0,8	34	—	—
THT—SiC 70/30, $\rho_0=1,1-1,07$ г/см ³ , $\delta=0,02$ мм	(120)	2,8	2,0	0,93	—	—	—
	(80)	5,05	0,93	0,81	—	—	—
	1,5						
Гексоген—NaCl 25/75, $\rho_0=1,35-1,4$ г/см ³ , $\delta=1,2$ мм	20	3,45	0,5	0,6	28,5	—	4,2
	20	4,33	0,55*	0,93*	56,7	3,5	3,1
	30	2,9	0,5	0,64	25,6	—	5,7
	30	4,3	0,7	0,8	47,2		
	40	3,9	0,6	0,8	43,0	—	
	40	4,6	0,5*	1,05	66,5	3,4	4,1
	60	2,9	0,9	1,0	40,0	—	
	60	4,7	0,5*	1,15*	74,5	3,1	7,3
Гексоген—NaCl 25/75, $\rho_0=1,35-1,4$ г/см ³ , $\delta=0,5$ мм	20	2,7	0,7	0,5	18,5	—	—
	20	3,9	0,55	0,7	37,5		
	20	4,7	0,2	1,2	78		
	30	4,41	0,5*	1,06*	64,5*	3,1	—
	40	4,6	0,5*	1,15*	76*	3,0	—
	60	4,6	0,5	1,1*	70*	3,2	—
Гексоген—NaCl 25/75, $\rho_0=1,35-1,4$ г/см ³ , $\delta=0,35$ мм	60	4,36	0,5*	1,05	63	3,16	6,0

Окончание табл. 1

1	2	3	4	5	6	7	8
Гексоген — NaCl 25/75, $\rho_0=1,35 \div 1,4$ г/см ³ , $\delta=0,1 \div 0,25$ мм	(40) (60)	1,56 2,2	0,4 0,4	0,6 0,8	12,7 23,7	— —	9,0 11,5
Гексоген — Al ₂ O ₃ 25/75, $\rho_0=2,0 \div 2,2$ г/см ³ , $\delta=0,5$ мм	(10) 15 20 30 40 60 80	3,6 4,35 4,29 4,53 4,68 4,68 4,7	0,5* 0,4* 0,45* 0,45* 0,45* 1,0* 0,45*	0,94 0,96* 1,0* 1,0* 1,0* 98* 1,0*	84,6* 82,5* 98* 98* 99* 3,6 3,7	3,6 3,7 3,7 3,7 3,7 5,1 8,1	2,4 2,8 3,7 3,7 5,1 8,5 8,1
Гексоген — Al ₂ O ₃ 25/75, $\rho_0=1,8 \div 2,0$ г/см ³ , $\delta=0,1$ мм	(20) (30) (40) (60) (80)	2,13 2,54 2,8 3,0 3,15	0,2 0,1 0,1 1,49* 1,49*	0,68 0,85 1,0 0,58* 0,62	27,5 41 53,2 33,0* 37,2*	— — — 4,2 4,1	4,7 5,0 6,5 8,5 9,1
Гексоген — Al ₂ O ₃ 25/75, $\delta=0,1$ и 0,5 мм, 50/50 $\rho_0=2,0$	40	3,45	1,1*	0,65*	45	4,3	5,0
Гексоген — SiC 25/75, $\rho_0=1,5 \div 1,1$, $\delta=0,12$ мм	30 40 60 100 120	1,82 2,3 2,72 3,0 2,9	0,4 0,4 1,5* 1,5* 1,45*	0,67 0,8 0,62* 0,72* 0,70*	18,8 28,5 26,0* 33,4* 38,4*	3,4 7,6 3,2 10,2 3,15	6,3 6,5 7,6 10,2 11,4
Гексоген — B ₂ O ₃ 25/75, $\rho_0=1,1 \div 1,2$, $\delta=0,35$ мм	60	2,3	0,4	0,1	26,6	—	12,9
Гексоген — NaCl 20/80, $\rho_0=1,38$	(20) (25) (30) (35) (40) (40) (45) (45) (45) (60) (80)	1,7 2,0 2,05 2,17 1,9 2,6 2,48 2,6 2,16 2,6 3,0	0,6 0,6 0,6 0,6 0,7 1,43* 1,3* 0,35 0,6 1,1* 1,0*	0,5 0,62 0,65 0,68 0,74 0,66* 0,65* 1,03 0,73 0,75* 0,8*	12 17 18,4 20,0 19,4 23,7 23,3 37,0 21,8 27* 33*	— — — — — 2,9 2,85 — — 2,5 2,8	5,3 5,8 6,2 — 9,5 — — 9,3 — 9,1 12,0
Гексоген — Ba(NO ₃) ₂ 20/80, $\rho_0=1,9$	(8) (10) (15) (18) (20) (30) (40) (60)	1,5 1,8 2,54 2,78 2,84 3,38 3,52 3,57	— — — — 0,3 0,65* 0,6*	— — — — 0,86 0,72* 0,75* 0,5*	— — — — 46 46* 50* 0,8*	— — — — — 3,7 3,7 54,4*	— — — — — 3,1 3,9 4,7 3,5 6,1
Гексоген — NaCl 15/85, $\rho_0=1,3$	(30) (40) (80) (100) (120)	1,8 1,8 2,0 2,2 2,1	0,7 0,7 0,7 0,95* 1,05*	0,45 0,46 0,54 0,62* 0,6	10,5 10,8 14,0 17,7* 16,4	— — — 2,5 2,5	4,8 — — — —

пенсация влияния отдельных факторов не позволяет надежно выявить роль каждого из них на простейших расчетных моделях и требует более детального рассмотрения.

При заданном процентном содержании добавки не удается проследить зависимость $n(p)$ в широком диапазоне давлений, так как химпик

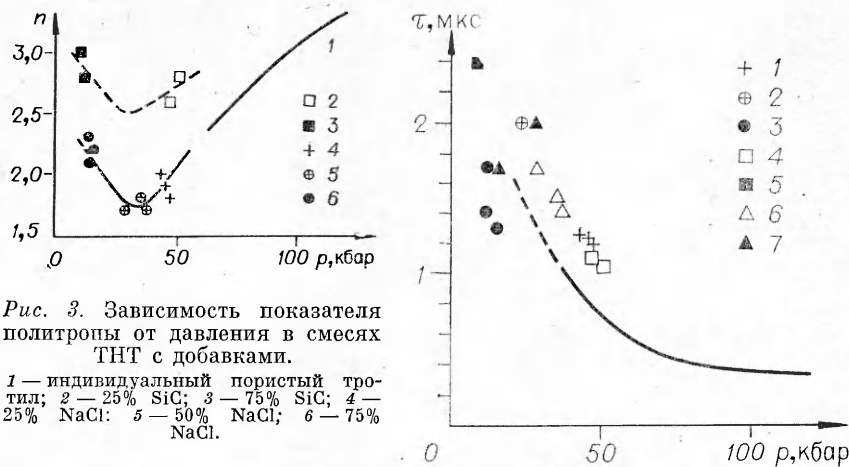


Рис. 3. Зависимость показателя политропы от давления в смесях ТНТ с добавками.

1 — индивидуальный пористый тротил; 2 — 25% SiC; 3 — 75% SiC; 4 — 25% NaCl; 5 — 50% NaCl; 6 — 75% NaCl.

Рис. 4. Зависимость времени реакции от давления детонации в пористом тротиле (кривая) и смесях с добавками.

1 — 25% NaCl, $\delta \approx 1,0$ мм; 2 — 50% NaCl, $\delta \approx 1$ мм; 3 — 75% NaCl, $\delta = 1,0$ мм; 4 — 25% SiC, $\delta = 0,12$ мм; 5 — 75% SiC, $\delta = 0,3$ мм; 6 — 30% SiC, $\delta = 0,02$ мм; $\rho_0 = 1,5$ г/см³; 7 — 30% SiC, $\delta = 0,02$ мм, $\rho_0 = 1,1$ г/см³.

четко фиксируется лишь при достаточно больших размерах заряда, когда давление практически не меняется. На рис. 3 показана зависимость $n(p)$ индивидуального ТНТ и в смесях с различным содержанием добавки при близких к идеальным режимам детонации. Видно, что зависимость $n(p)$ для смесей немонотонная. При увеличении содержания NaCl с 25 до 50% давление и показатель политропы падают, однако при $\alpha = 75\%$ n возрастает, несмотря на снижение давления.

При одинаковом α и близком давлении показатель политропы в смесях с более тяжелой добавкой (SiC) выше (больше, чем в индивидуальном ВВ). Аналогичная картина наблюдается в смесях с гексогеном. Для индивидуального гексогена в области давлений 30—90 кбар $n = 2 \div 2,4$, для смесей с 75%-ным содержанием NaCl $n = 2,6 \div 3,0$. Следует отметить также влияние дисперсности добавки на показатель политропы. В смесях гексогена с Al_2O_3 и SiC дисперсностью $\delta \approx 0,1$ мм он больше, чем в аналогичных смесях с размером частиц 0,5 мм при близких давлениях. Рост n в смесях с мелкодисперсной добавкой связан, видимо, с увеличением показателя политропы продуктов детонации ВВ из-за их охлаждения в результате прогрева добавки. Анализ результатов расчета изэнтропического расширения продуктов детонации гексогена зарядов различной плотности работы [11] показывает, что n существенно зависит от температуры продуктов в области малых давлений. Так, снижение температуры на 1000 К при постоянном давлении 10, 25 и 50 кбар приводит к росту n на 0,5, 0,3 и 0,2 соответственно. В области $p > 100$ кбар температура практически не влияет на n .

Вероятно, снижение температуры продуктов детонации наряду с непосредственным влиянием содержания добавки приводит к росту n в смесях с тротилом в области малых давлений.

Полученные количественные данные по параметрам детонации и времени реакции позволяют более детально понять механизм влияния инертных добавок на различные стороны процесса детонации. На рис. 4 приведен график зависимости $\tau(p)$ пористого индивидуального тротила и нанесены экспериментальные точки для различных смесей. Кривая для тротила построена на основе экспериментальных зависимостей τ и p от ρ_0 и диаметра заряда стационарной детонации пористых образцов с размером частиц $\delta = 0,1$ мм [3] и экстраполирована в область низких давлений (птичковая линия), где получены основные результаты по смесям.

Несмотря на возможную неточность экстраполяции, можно сделать определенные выводы о влиянии добавок на время реакции. Из рис. 4 видно, что при содержании добавок NaCl и SiC $\alpha = 25 \div 50\%$ время реакции смесей при одинаковом давлении больше, чем в индивидуальном ВВ, а при $\alpha = 75\%$ меньше или близко к нему. Увеличение τ в смесях с $\alpha = 25 \div 50$ связано, вероятно, с тем, что в данных условиях мала положительная роль добавки в образовании очагов разложения, а основное влияние ее сводится к увеличению τ за счет снижения температуры продуктов детонации в результате прогрева добавки.

Для строгого анализа роли прогрева важно знать, кроме теплофизических свойств, размеры частиц добавки в зоне реакции, что труднее всего сделать для частиц NaCl . Как отмечалось в [1], исходный размер частиц NaCl составлял $0,5 \div 1,0$ мм, но после смешения с ВВ распределение частиц по фракциям смешалось в сторону мелких фракций. В ударном фронте детонационной волны, очевидно, также происходит дробление, так что прогрев наиболее мелких фракций вполне возможен. Для подтверждения этих соображений сделаны эксперименты на смеси с 30%-ным содержанием мелкодисперсной фракции SiC ($\delta = 0,02$ мм) при двух плотностях заряжания. В этих опытах (см. рис. 4, 6, 7) также получено увеличение τ по сравнению с индивидуальным ВВ. Попытки получить аналогичные данные для смесей с 75%-ным содержанием мелкодисперсной фракции SiC ($\delta = 0,02$ и $0,1$ мм) не увенчались успехом из-за сильного роста критического диаметра детонации ($d_{\text{кр}} > 100$ мм). Введение же 75% SiC ($\delta = 0,03$ мм), как и NaCl , приводит к некоторому снижению τ по сравнению с индивидуальным ВВ.

Это можно связать с положительным влиянием инертной добавки непосредственно на образование очагов разложения в ударном фронте. Такое влияние становится возможным благодаря большому содержанию и размеру частиц добавки, а также значительному (в 3–4 раза) уменьшению давления детонации, что снижает роль дробления и прогрева добавки. Информация о непосредственном влиянии добавки NaCl на возникновение очагов разложения получена методом торможения границы раздела, когда на ВВ в начальный момент времени действует только ударная волна и исключаются другие факторы, которые могут оказывать влияние на разложение ВВ в стационарной детонации. Скорость движения границы раздела парафиновый экран — исследуемое ВВ записывалась электромагнитным методом на зарядах с $d = 60$ мм из индивидуального ТНТ и смесей ТНТ с 75% NaCl . Кроме торможения границы раздела записаны профили $u(t)$ в смеси на различных расстояниях l от границы раздела, наглядно показывающие формирование химпика. Амплитуда ударной волны выбрана близкой к давлению в стационарной детонации смесей ТНТ — NaCl 25/75.

Результаты экспериментов приведены на рис. 5. Видно, что кривые

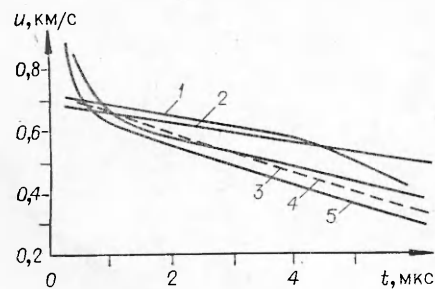


Рис. 5. Профили $u(t)$ на различных расстояниях от границы раздела инерт-ВВ (1 — ТНТ, 2—5 — NaCl 25/75).

l , мм: 1, 2 — 0, 3 — 10, 4 — 15, 5 — 40.

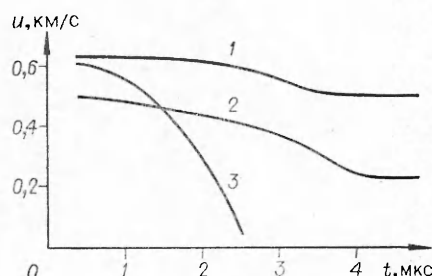


Рис. 6. Кривая торможения границы раздела парафин — ВВ.
1, 2 — гексоген — NaCl 25/75, $\delta = 0,5$ и 1 мм; 3 — индивидуальный гексоген.

торможения границы раздела ТНТ и смеси близки. Наличие с самого начала наклона записей $u(t)$ и его постоянство во времени указывает на то, что разложение в обоих случаях начинается сразу за время завала фронта и газодинамический эффект разложения смеси не хуже, чем в индивидуальном ВВ. При отсутствии положительного влияния добавки на разложение можно было ожидать значительно меньшего наклона зависимости $u(t)$ для смеси как вследствие замены части ВВ на инерт, так и возможного уменьшения скорости разложения из-за снижения температуры продуктов. Вероятные отрицательные влияния этих факторов компенсируются увеличением начального числа очагов разложения в смеси за счет введения большого количества NaCl. Однако в целом положительное влияние добавки, видимо, мало, так как и в смеси, и в индивидуальном ВВ используемым методом не удается наблюдать окончание разложения за время наблюдений (~ 5 мкс) при выбранной амплитуде ударной волны ($u = 0,7$ км/с).

При помещении датчика в ВВ на расстояние 10 мм от границы раздела значение u на ударном фронте сохраняется таким же, как и на границе раздела, но несколько увеличивается наклон $u(t)$ за фронтом (см. рис. 5, 4). На расстоянии 15 мм от границы раздела на записях $u(t)$ появляется химпик, шириной по времени около 1,5 мкс, значение массовой скорости на фронте возрастает с 0,7 до 0,9 км/с. Наклон $u(t)$ за изломом практически не меняется (см. рис. 5, 3). При дальнейшем увеличении l (см. рис. 5, 5) профиль $u(t)$ сохраняется, происходит лишь некоторое сокращение ширины химпика по времени. Появление химпика в данном случае связано, видимо, с влиянием зафронтовой области. Детали этого процесса остаются не ясными. Из кривых торможения границы раздела следует, что разложение ВВ в смеси начинается сразу при воздействии ударной волны, однако рост амплитуды фронта и формирование химпика происходят лишь после прохождения фронтом значительного расстояния ($l > 10$ мм). Возможно, это связано с индивидуальными особенностями разложения тротила (слабое газовыделение, отсутствие ускорения разложения за фронтом).

Более определенные выводы следуют из данных для гексогена. На рис. 6 кривые торможения границы раздела парафин — ВВ в чистом гексогене и смесях с NaCl 25/75 ($\delta = 0,5 \div 1,0$ мм) при близких амплитудах воздействия ($u = 0,5 \div 0,6$ км/с). Видно, что в отличие от ТНТ разложение индивидуального гексогена происходит с ускорением и заканчивается за время около 2,5 мкс (выход кривой торможения на плато). В смесях с NaCl также наблюдается выход кривых $u(t)$ на плато, однако спад происходит медленнее, увеличивается время окончания разложения, а газодинамический эффект торможения (изменение u от начального до конечного значения) уменьшается. Это говорит о том, что добавки не оказывают положительного влияния на разложение ВВ в ударной волне.

На рис. 7 приведены зависимости времени реакции от давления детонации в стационарной детонации смесей гексогена с различными добавками. Видно, что при размерах частиц добавки $\delta > 0,3$ мм ($p > 50$ кбар) независимо от ее природы все точки ложатся на зависимость $\tau(p)$ индивидуального гексогена. Это указывает на то, что используемые добавки не играют заметной положительной роли в возникновении очагов разложения, как можно было ожидать, исходя из физико-механических и теплофизических свойств добавок, которые приведены в табл. 2 [13].

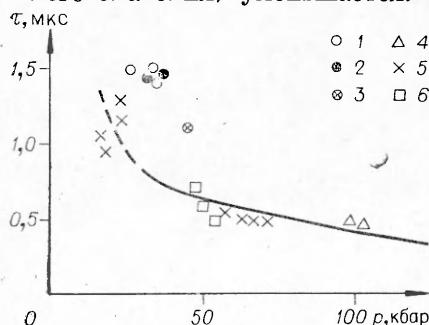


Рис. 7. Зависимость времени реакции от давления детонации в пористом гексогене и смесях с различными добавками.

1 — SiC, $\delta=0,1$ мм; 2 — Al₂O₃, $\delta=0,1$ мм;
3 — Al₂O₃, $\delta=1,0 \div 0,5$ мм; 4 — Al₂O₃, $\delta=0,5$ мм; 5 — NaCl; 6 — Ba(NO₃)₂.

Таблица 2

Разбавитель	ρ , г/см ³	$T_{пл}$, °C	T_b , по Моосу	c_p , Дж/(моль·К)	λ , кал/(см·с·К)	κ , см ² /с
SiC	3,08	2700	8—9	26,65	0,045	0,092
Al ₂ O ₃	3,96	2015	9	79,0	0,069	0,093
B ₂ O ₃	1,84	450	8—9	62,05	—	—
NaCl	2,16	800	2—2,5	50,79	0,023	0,054

Таким образом, из данных по смесям гексогена и тротила с 75%-ным содержанием крупнодисперсной добавки следует, что время реакции смеси остается таким же, как в индивидуальном ВВ (гексоген) или несколько сокращается (тротил), тогда как критический диаметр указанных смесей возрастает в 2—3 раза [1]. Этот результат указывает на неоднозначность связи d_{kp} со временем реакции и на определяющую в данном случае роль энергетики заряда.

Уменьшение размеров частиц Al₂O₃ и SiC до 0,1 (область $p < 50$ кбар) приводит, как видно из рис. 7, к значительному (в 2 раза) росту времени реакции в смесях по сравнению с индивидуальным гексогеном или смесями с крупнодисперсной добавкой при близких давлениях. Этот факт указывает на то, что основное влияние на τ и параметры детонации пористых ВВ инертная мелкодисперсная добавка оказывает, видимо, через снижение температуры продуктов разложения. Амплитуда ударного фронта не определяет однозначно время реакции смесей в области низких давлений, где разложение идет по механизму «горячих точек». Возможно, аналогичное положение имеет место и в большинстве случаев разложения индивидуальных твердых и жидкых ВВ в ударных и детонационных волнах, когда превращение вещества не носит характер нормального адиабатического взрыва.

В работе [14] отмечается корреляция между критическим диаметром и температурой продуктов детонации в ряде жидкых ВВ. Ее можно объяснить влиянием температуры продуктов разложения на время реакции и критический диаметр. Такое влияние кажется возможным из-за сильного вырождения теплового взрыва в условиях нормальной детонации, о чем свидетельствует треугольный профиль массой скорости в зоне реакции детонационной волны [3]. При детонации индивидуальных ВВ трудно разделить влияние давления и температуры ударного сжатия ВВ и температуры продуктов разложения на время реакции. В какой-то мере это удается сделать в экспериментах на смесях с прогреваемой и непрогреваемой добавкой. Прогрев мелкодисперсной добавки приводит к снижению температуры и дополнительным (по сравнению с крупнодисперсной добавкой) потерям энергии, что оказывает сильное влияние на все характеристики процесса детонации.

Сделаны приближенные расчеты прогрева Al₂O₃ в смесях с гексогеном для наблюдаемых в экспериментах времен реакции по соотношению $\delta \simeq \sqrt{\kappa \tau}$. Температуропроводность κ считалась постоянной и равной 0,1 см²/с. Расчеты показали, что для $\tau = 0,5$ мкс (индивидуальный гексоген и смесь с крупнодисперсной добавкой) прогретая масса составляет менее 5% от общей массы добавки при $\delta > 0,3$ мм. Поэтому при $\delta > 0,3$ мм в исследованных смесях с гексогеном практически нет потерь на прогрев, что и обуславливает высокие параметры детонации и независимость τ от наличия добавки. Прогретая масса становится существенной при $\delta < 0,1$ мм как из-за увеличения поверхности теплоотвода, так и снижения параметров детонации и возрастания времени реакции. Так, при $\tau = 1,5$ мкс и $\delta = 0,1$ мм прогретая масса составляет ~20%. Температура продуктов детонации гексогена, как показывают расчеты, снижается с 4 до 2,6 К, а тепловые потери достигают приблизительно половины теплоты

взрыва ВВ в смеси. Скорость детонации при таких потерях должна снижаться в 1,4 раза, что близко к экспериментально наблюдаемому различию в значениях D для смесей гексогена с Al_2O_3 , $\delta = 0,5$ и $0,1$ мм ($\sim 1,5$ раза).

Эти оценки подтверждают основные результаты по влиянию процентного содержания и дисперсности добавки на критический диаметр, параметры детонации и время реакции.

Выводы

1. Для детонации пористых ВВ с инертными добавками, как и для детонации индивидуальных пористых ВВ, справедливы основные представления и выводы современной гидродинамической теории детонации.

2. Влияние твердых, тугоплавких инертных добавок на механизм разложения пористых ВВ зависит от индивидуальных свойств ВВ и главным образом от дисперсности добавок. При исключении заметного прогрева добавок в смесях с тротилом наблюдается некоторое положительное влияние их на возникновение очагов разложения и суммарное время реакции. В случаях с гексогеном такого влияния не обнаружено, что обусловлено, видимо, физической неоднородностью пористой структуры заряда и достаточно высокими давлениями детонации смесей.

3. Основное влияние на критический диаметр, структуру фронта, параметры детонации и время реакции пористых ВВ инертные добавки оказывают через процессы поглощения энергии в зоне реакции. Любые факторы, приводящие к потерям энергии, могут приводить к неоднозначности детонационного режима в системе с заданной потенциальной химической энергией.

4. Для надежного теоретического описания режимов детонации пористых ВВ с большим содержанием инертных добавок необходимо учитывать состояние добавки в зоне реакции.

Поступила в редакцию 4/V 1981

ЛИТЕРАТУРА

1. К. К. Шведов, А. И. Анискин и др. ФГВ, 1980, 16, 3.
2. П. Ф. Плохил, В. М. Мальцев, В. М. Зайцев. Методы исследования процессов горения и детонации. М.: Наука, 1969.
3. А. Н. Дремин, С. Д. Савров и др. Детонационные волны в конденсированных средах. М.: Наука, 1970.
4. Я. Б. Зельдович, А. С. Компанеец. Теория детонации. М.: Гостехиздат, 1955.
5. В. Г. Хотин, В. А. Пономарев. ФГВ, 1973, 9, 2.
6. М. М. Бойко, В. Н. Крамаренко, В. С. Соловьев. Тр. Всес. симпозиума по горению и взрыву. Детонация. Черноголовка, 1977.
7. Л. В. Альтшуллер, В. Т. Рязанов, М. П. Сперанская. ПМТФ, 1972, 1.
8. W. H. Cust, E. B. Royce. J. Appl. Phys., 1971, 42, 1.
9. Б. Д. Христофоров, А. Н. Аверин.— В сб.: Взрывное дело, № 71/28. М.: Наука, 1972.
10. В. Д. Лютов, И. М. Воскобойников и др.— В сб.: Взрывное дело, № 63/30. М.: Недра, 1967.
11. И. В. Бабайцев, Ю. Н. Папанин, В. Ф. Тишевич.— В сб.: Взрывное дело, № 72/29. М.: Недра, 1973.
12. Н. М. Кузнецов, К. К. Шведов, ФГВ, 1967, 3, 2.
13. Таблицы физических величин/Под ред. И. К. Кикоина. М.: Атомиздат, 1976.
14. Б. И. Кондриков, В. М. Райкова. ФГВ, 1977, 13, 1.